

بررسی فعالیت ضد گلیکوزیلاسیونی عصاره هیدروالکلی گیاه کنگر (*Gundelia tournefortii*) در آلبومین سرم گاوی: استراتژی برای کاهش عوارض مزمن دیابت

فریبا عزیزی مرادی و سیف الله بهرامی کیا*

ایران، خرم آباد، دانشگاه لرستان، دانشکده علوم پایه، گروه زیست‌شناسی

تاریخ دریافت: ۹۶/۹/۲ تاریخ پذیرش: ۹۶/۱۲/۵

چکیده

گلیکه شدن غیرآنژیمی پروتئینها و تشکیل محصولات نهایی پیشرفتیه این فرآیند (AGEs) از عوامل دخیل در پاتوژنز عوارض مزمن دیابت می‌باشدند. از آنجایی که این حاویت باعث تخریب کارکرد صحیح پروتئینها می‌شوند ترکیبات آنتی‌اکسیدان با منشاء گیاهی می‌توانند به عنوان یک راه درمانی برای جلوگیری از بروز این عوارض مزمن مورد استفاده قرار گیرد. در این تحقیق اثر عصاره هیدروالکلی گیاه کنگر (*Gundelia tournefortii*) استان لرستان بر روی مهار فرآیند گلیکه شدن غیرآنژیمی آلبومین سرم گاوی (BSA) در مدل‌های دیابتی بررسی شد. برای این منظور ابتدا محتوای فنول و فلاونویید عصاره هیدروالکلی تعیین شد. برای بررسی خاصیت آنتی‌اکسیدانی این گیاه از آزمون مهار تشکیل رادیکال آزاد DPPH استفاده شد. سپس به منظور تشکیل AGEs در شرایط In Vitro به وسیله گلوکز، گلایکه شد و اثر عصاره هیدروالکلی گیاه بر فرآیند گلیکیشن با استفاده از آزمونهای مختلف اندازه گیری شد. نتایج نشان داد که عصاره گیاه کنگر در یک رفتار وابسته به دز ($\mu\text{g}/\text{ml}$) ۴۰۰-۲۵۰ دارای توانایی جمع کنندگی (Scavenging) رادیکالهای DPPH و فعالیت ضد گلیکیشن می‌باشد. علاوه بر این، عصاره هیدروالکلی، باعث مهار تولید رادیکالهای هیدروکسیل طی فرآیند اتوکسیداسیون قدها شد. با توجه به درگیر شدن واکنشهای اکسیداتیو در تولید AGEs تحت شرایط هیپرگلیسمیا و همچنین با توجه به محتوای بالای ترکیبات فنولی و فلاونوییدی (ترکیبات آنتی‌اکسیدانی) در عصاره هیدروالکلی، *G. tournefortii* احتمالاً از طریق خاصیت آنتی‌اکسیدانی قوی خود باعث مهار فرآیند گلیکیشن پروتئین می‌شود.

واژه‌های کلیدی: فعالیت ضد گلیکوزیلاسیونی، محصولات انتهایی گلیکوزیلاسیون پیشرفتیه پروتئین، کنگر، دیابت

* نویسنده مسئول، تلفن: ۰۹۱۶۶۱۴۰۸۲، پست الکترونیکی: Bahramikia.s@lu.ac.ir

مقدمه

دیابت مهمترین بیماری متابولیک انسان است که بیش از ۱۵۰ میلیون نفر در جهان و نزدیک به ۳ میلیون نفر در ایران به آن چجار هستند و موارد قابل توجهی از آنان ناشناخته باقی مانده است. دیابت از بیماریهای پرهزینه بوده می‌باشد.

هیپرگلیسمی یا از طریق تولید مستقیم ROS و یا از طریق تغییر در تعادل اکسید-احیاء در استرس اکسیداتیو نقش دارد. تاکنون چندین مکانیسم مهم در ارتباط با این امر ارائه شده است که شامل: افزایش شار مسیر پلی ال، افزایش

دیابت مهمترین بیماری متابولیک انسان است که بیش از ۱۵۰ میلیون نفر در جهان و نزدیک به ۳ میلیون نفر در ایران به آن چجار هستند و موارد قابل توجهی از آنان ناشناخته باقی مانده است. دیابت از بیماریهای پرهزینه بوده و در بسیاری از کشورها در سنین ۷۰-۲۰ سالگی علت اصلی کوری و سر دسته علل قطع عضو و نارسایی مزمن کلیه محسوب می‌شود. از آنجا که درمان قطعی آن هنوز در بسیاری از موارد دست نیافتنی است، تنها با شناخت به موقع و مراقبتهای مناسب می‌توان شیوع و عوارض و

برای پروتئین ماتریکس) روی سلول میانکش می‌کنند. سوم، میانکش لیگاند-RAGE باعث تولید ROS درون سلولی از طریق فعال‌سازی سیستم NADPH اکسیداز می‌گردد.

از طرفی دیگر، اتواکسیداسیون گلوکر تحت تأثیر انتقال یونهای فلزی می‌تواند منجر به تشکیل کتوآلدئید و H_2O_2 شود. کتوآلدئید‌ها می‌توانند با گروه آمین کتوایمین‌ها واکنش دهند که در نهایت این کتوایمین‌ها می‌توانند منجر به تشکیل AGEs شوند(۲۹). بنابراین رادیکالهای آزاد در تولید ترکیبات AGE و در بحث تخریب اکسیداتیو پروتئینها نقش دارند.

بر اساس این مکانیسمها، مهار تشکیل ترکیبات AGE می‌تواند به عنوان یک روش درمانی مفید برای کاهش عوارض مزمن دیابت مطرح باشد. یکی از استراتژهای AGE استفاده از ترکیبات آنتی اکسیدان به خصوص با منشأ گیاهی است (۱۷ و ۱۹). گیاه کنگر با نام علمی *Asteraceae* از خانواده *Gundelia tournefortii* L در طب سنتی ترکیه از دانه خشک شده این گیاه برای درمان بیماری پیسی استفاده می‌شود، حال آنکه برگ‌های تازه آن ادرار‌آوراست. همچنین درکشور ترکیه به صورت سنتی، از ساقه آن برای درمان اسهال، درد معده، برونشیت، سنگ‌کلیه، آماس گردن و التهاب استفاده می‌شود (۲۱). در اردن نیز مردم محلی از گیاه کنگر برای درمان دیابت استفاده می‌کنند (۱۲). نتایج حاصل از یک پژوهش در ایران نظریه طب سنتی در باره اثرات محافظتی هپاتوستی و اثرات مفید کنگر در درمان بیماریهای کبدی را تأیید می‌نماید (۱۵). در پژوهش دیگری در ترکیه نشان داده شده است که عصاره متانولی قسمتهای هوایی و دانه این گیاه خاصیت آنتی اکسیدانی قابل توجهی نسبت به آلفا توکوفرول دارد، علاوه بر این عصاره متانولی این گیاه دارای اثر مهاری بر فعالیت آنزیم گلوتاتیون S ترانسفراز می‌باشد. پژوهش همچنین نشان داد که محتوى ترکیبات

تشکیل درون سلولی محصولات انتهایی گلیکوزیلاسیون پیشرفت (AGEs)، فعال‌سازی پروتئین کیناز C و تولید بیش از حد سوپراکسید توسط زنجیره انتقال الکترون میتوکندریایی می‌باشد (۱ و ۲).

قدندهارشدن غیرآنژیمی پروتئینها و تشکیل محصولات انتهایی گلیکوزیلاسیون پیشرفت فاکتورهای مهم پاتوژن‌ز عوارض مزمن دیابت هستند. واکنش غیرآنژیمی بین گروه آمینو پروتئینها و گروه کربونیل قندهای احیاء یا دیگر ترکیبات کربونیل به عنوان واکنش میلارد شناخته می‌شود (۱۷ و ۲۳). این واکنش به سه مرحله اساسی تقسیم می‌شود: اولیه، حدواسط و پایانی.

در مرحله اولیه، گلوکر (یا دیگر قندهای احیاء مثل فروکتونز، پنتوز، گالاکتونز، مانکوز، زایلولوز) با گروه آمینو آزاد پروتئینها برای تشکیل ترکیب ناپایدار باز شیف واکنش می‌دهد که تحت بازآرایی به محصول با ثبات تر شناخته شده به نام محصول آمادری تبدیل می‌شود. در مرحله حدواسط، محصول آمادری به انواعی از ترکیبات دی کربونیل فعل مثلاً گلی اکسال، متیل گلی اکسال و دئوکسی گلوکوزان‌ها از طریق دهیدراته شدن، اکسیداسیون و واکنشهای شیمیایی دیگر، تجزیه می‌شود. در مرحله از طریق واکنشهای اکسیداسیون، دهیدراته شدن و حلقوی شدن تشکیل می‌شوند. AGEs ترکیبات زرد- قهوه ای، فلورسانس و نامحلول هستند که روی پروتئینها با عمر طولانی تجمع می‌یابند و در نتیجه عملکرد فیزیولوژیکی آنها را مختلف می‌کنند.

تشکیل درون سلولی AGEs توسط سه مکانیسم اصلی به سلولهای هدف آسیب می‌رساند (۲ و ۲۸) (شکل ۱-۲)؛ اول، پروتئینهای درون سلولی تغییریافته توسط AGEs عملکردشان تغییر می‌یابد. دوم، اجزای ماتریکس خارج سلولی تغییریافته به وسیله AGEs به طور غیرطبیعی با اجزای ماتریکس‌های دیگر و اینتگرین‌های (گیرنده‌های

محلول سدیم کربنات ۷/۵ درصد مخلوط شد. پس از ۹۰ دقیقه انکوبه کردن در دمای ۳۰ درجه سانتی گراد، جذب نمونه‌ها در طول موج ۷۶۵ نانومتر با اسپکتروفوتومتر خوانده شد. نتایج بر اساس میزان میلی گرم گالیک اسید معادل هر گرم از عصاره خشک شده بیان شد.

تعیین محتوای فلاونوئیدها: محتوای کل فلاونوئیدهای عصاره هیدروالکلی گیاه *Gundelia tournefortii* توسط روش کالریمتری توصیف شده در مقالات علمی سنجیده شد (۳۱). نیم میلی لیتر از هرنمونه گیاهی و کاتچین به عنوان استاندارد با ۲ میلی لیتر آب مقطر و به دنبال آن با ۰/۱۵ میلی لیتر محلول سدیم نیتریت ۱۵ درصد مخلوط گردید. پس از ۶ دقیقه، ۰/۱۵ میلی لیتر محلول الومینیوم کلراید ۱۰ درصد اضافه شد. بعد از ۶ دقیقه، ۰/۱۵ میلی لیتر آب مقطر اضافه شد تا حجم محلول نهایی ۲۰۰ میلی لیتر برسد. پس از ۱۵ دقیقه انکوبه کردن در دمای اتاق، جذب نمونه‌ها در طول موج ۵۱۰ نانومتر در مقابل بلانک (آب مقطر) خوانده شد. نتایج بر اساس میزان میلی گرم کاتچین معادل هر گرم از عصاره خشک شده بیان شد.

DPPH سنجش میزان فعالیت جمع آوری رادیکالهای سنجش فعالیت جمع آوری رادیکالهای آزاد توسط عصاره هیدروالکلی بر اساس روش Blios صورت گرفت (۵). به این منظور یک میلی لیتر از غلظتهاي مختلف عصاره هیدروالکلی ($50\text{-}200\text{ }\mu\text{g/ml}$) تهیه شد و به هر کدام یک میلی لیتر محلول DPPH (۰/۲ میلی مولار) که در اثانول حل شده بود افزوده شد. پس از گذشت ۳۰ دقیقه کاهش جذب نمونه‌ها به علت خاصیت پروتون دهنده در ۵۱۷ نانومتر قرائت شد. آسکوربیک اسید به عنوان کنترل مثبت استفاده شد. در نمونه کنترل به جای عصاره، آب مقطر استفاده شد. درصد فعالیت جمع آوری رادیکالهای آزاد با استفاده از فرمول زیر محاسبه شد:

پلی فنولی دانه گیاه بیشتر از قسمتهای هوایی آن است و در نتیجه خاصیت آنتی اکسیدانی دانه از سایر قسمتهای بیشتر است (۷).

در این پژوهش ابتدا خاصیت آنتی اکسیدان گیاه کنگر لرستان بررسی شد و پس از تأیید خاصیت آنتی اکسیدانی، اثر عصاره اثانولی آن بر فرآیند گلایکه شدن غیرآنژیمی پروتئینها در شرایط *in vitro* بررسی شد.

مواد و روشها

جمع آوری گیاه کنگر: ساقه زیرزمینی گیاه کنگر در اردیبهشت ماه و خرداد ماه سال ۱۳۹۴ از شهرستان نورآباد (لرستان، ایران) جمع آوری گردید و توسط دکتر خدایاری (دانشگاه لرستان، ایران) شناسایی و با کد Lu120 در هریاریوم دانشگاه لرستان ثبت شد. ساقه‌های جمع آوری شده به منظور رفع آلدگی و گل ولای چسبیده به آنها شسته شده و در سایه به دور از نور آفتاب خشک گردید. پس از خشک شدن، گیاه آسیاب شده و تا زمان استفاده در یخچال نگهداری شد.

آماده سازی عصاره هیدروالکلی کنگر: ۲۵۰ گرم گیاه پودر شده سه مرتبه توسط اثانول (۸۰ درصد) به صورت تمام شب در دمای اتاق عصاره گیری شد. عصاره‌های به دست آمده با هم ترکیب شدند و با دستگاه روتاری تغليظ شد تا حجم آن به ۱۰۰ میلی لیتر رسید و به این ترتیب عصاره هیدروالکلی حاصل گردید. عصاره تغليظ شده به وسیله انکوباتور خشک شدند و تا زمان استفاده در یخچال نگهداری شد.

تعیین مقدار کل فنول‌ها: محتوای کل ترکیبات فنولی در عصاره هیدروالکلی گیاه *Gundelia tournefortii* با معرف فولین-سیوکالتیو (FCR) مطابق روش‌های منتشر شده تعیین شد (۲۴). نیم میلی لیتر از عصاره گیاه و گالیک اسید به عنوان استاندارد، با ۲/۵ میلی لیتر معرف فولین-سیوکالتیو (رقیق شده با نسبت ۱ به ۱۰) و به دنبال آن با ۲ میلی لیتر

این منظور در گام اول باید پروتئین به وسیله قندهای احیاء گلیکوزیله شود. برای این امر از روش Sharma و همکارانش استفاده شد (۲۲). BSA با غلظت 10 mg/ml به همراه گلوکز با غلظت 500 میلی مولار و سدیم آزید 3 میلی مولار در بافر فسفات $0.2\text{ M}\text{ pH }7/4$ مخلوط شدند. سدیم آزید جهت جلوگیری از ایجاد آلودگی باکتریایی در محیط استفاده شد. سپس درون هر میکروفیو $1/5\text{ میلی لیتر}$ از محلول واکنش ریخته شد و در پایان غلظتها مختلف از عصاره هیدروالکلی به نمونه‌ها افزوده شد. انکوباسیون برای عصاره هیدروالکلی به مدت سه هفته در دمای 37°C درجه سانتی‌گراد و دور از نور انجام شد.

سنچش فروکتوز آمین: نمونه‌های گلایکه شده برای بررسی تشکیل محصولات آمادوری و اثر عصاره هیدروالکلی بر روی تشکیل این محصولات در پایان هر هفته توسط سنچش فروکتوزآمین بررسی شدند. جهت انجام این تست از روش Johnson و همکارانش استفاده شد (۱۶). به طور خلاصه، یک میلی لیتر معرف NBT که با غلظت 0.5 میلی مولار در بافر سدیم کربنات 0.2 مولار با $\text{pH }10/4$ تهیه شده بود، به نمونه‌ها اضافه گردید. نمونه‌ها به مدت یک ساعت در دمای 37°C درجه سانتی‌گراد انکوبه شدند و سپس در طول موج 530 نانومتر جذب نمونه‌ها در برابر بلانک (معرف) اندازه گیری شد.

اندازه گیری AGES **تام:** اندازه گیری شدت فلورسانس یکی از راههای سنچش میزان AGES تام و برخی از محصولات ویژه آن است. در پایان هر هفته از انکوباسیون (برای عصاره هیدروالکلی سه هفته بود) میزان AGES کل با اندازه گیری شدت فلورسانس نمونه‌ها با استفاده از برانگیختگی و نشر ماکریم به ترتیب در 370 و 410 نانومتر دنبال شد (۲۲).

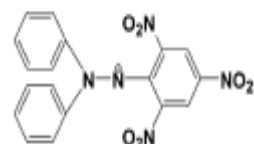
تعیین محتوای کربونیل پروتئین: از جمله نشانگرهای آسیب اکسیداتیو پروتئینها تشکیل کربونیل پروتئین است،

$$\text{R\%} = [(A_0 - A_1)/A_0] \times 100$$

R% : درصد مهار

A₀: جذب DPPH در 517 نانومتر

A₁: جذب نمونه‌ها در 517 نانومتر



DPPH

تعیین رادیکالهای هیدروکسیل تولید شده توسط اتوکسیداسیون گلوکز: درجهت بررسی اثر عصاره هیدروالکلی بر روی جمع آوری رادیکالهای هیدروکسیل حاصل از اتوکسیداسیون قله، از روش Hunt و همکارانش استفاده شد (۱۴). به طور خلاصه، مخلوطی شامل سدیم بنزووات یک میلی مولار، بافر پتاسیم فسفات 100 میلی مولار با $\text{pH }7/4$ ، گلوکز 500 میلی مولار و سولفات مس $1/100\text{ میلی مولار}$ آماده شد. درون هریک از میکروفیوها 500 میکرولیتر از این مخلوط ریخته شد و سپس غلظتها مختلف ($100\text{--}500\text{ }\mu\text{g/ml}$) از عصاره هیدروالکلی اضافه شد. در نمونه‌های کنترل منفی عصاره اضافه نشد. سپس نمونه‌ها به مدت 4 روز در دمای 37°C درجه سانتی‌گراد انکوبه شدند. در نهایت شدت جذب فلورسانس نمونه‌ها در طول موج برانگیختگی 308 نانومتر و طول موج نشر 410 نانومتر اندازه گیری شد. کاهش در شدت فلورسانس نمونه‌ها که به معنای کاهش در مقدار بنزووات هیدروکسیل است، با فعالیت جمع آوری رادیکالهای هیدروکسیل توسط عصاره هیدروالکلی مرتبط است. نتایج به صورت درصد مهار بیان شدند.

گلیکوزیلاسیون آلبومین سرم گاوی در شرایط In Vitro: برای بررسی اثر عصاره هیدروالکلی بر روی فرآیند گلیکوزیلاسون آنزیمی ابتدا لازم است که محیطی را به صورت In Vitro برای انجام واکنش فراهم آورده شود. به

سپس ۳۰ میکرو لیتر DTNB با غلظت $2/5$ میلی مولار به مخلوط اضافه شد و نمونه‌ها به مدت ۱۵ دقیقه در دمای اتاق انکوبه شدند. در پایان جذب نمونه‌ها در ۴۱۰ نانومتر با میکروپلیت ریدر خوانده شد. غلظت تیول آزاد نمونه‌ها براساس نمودار استاندارد آماده شده با غلظتها متفاوت L-Sیستئین محاسبه شد.

آنالیز های آماری: آنالیزهای آماری با استفاده از آزمون t - تست انجام شدند. تمامی داده‌ها به صورت میانگین $\pm SD$ بیان شدند. داده‌ها زمانی معنی دار بودند که $P < 0.05$ به دست آمد.

نتایج

تعیین محتوای کل فنول و فلاونوئید عصاره هیدروالکلی: در این مطالعه برای تخمین ترکیبات فنولی از واکنشگر Folin-Ciocalteu و برای ترکیبات فلاونوئیدی از واکنشگر آلومینیوم کلراید ($AlCl_3$) استفاده شد. میزان محتوای کلی ترکیبات فنولی و فلاونوئیدی در عصاره معادل میزان میلی گرم گالیک اسید (به عنوان فنولیک استاندارد) و کاتچین (به عنوان فلاونوئید استاندارد) در گرم ماده خشک عصاره بیان شده است. مقدار کل ترکیبات فنول و فلاونوئید در عصاره هیدروالکلی گیاه به ترتیب $335/85$ میلی گرم گالیک اسید به ازای هر گرم از عصاره خشک شده و $303/2$ میلی گرم کاتچین به ازای هر گرم از عصاره خشک شده به دست آمد (جدول ۱).

بنابراین اندازه گیری مقدار آن راه مناسبی برای تشخیص میزان آسیب اکسیداتیو پروتئین است. برای اندازه گیری مقدار کربونیل پروتئین براساس روش‌های موجود در مقالات علمی اقدام شد (۲). به طور خلاصه، یک میلی لیتر از $4/2$ دی‌نیترو فنیل هیدرازین (DNPH) 10 میلی مولار که در اسید کلریدریک (HCl) 2 مولار حل شده بود به نمونه‌هایی با غلظت 1 mg/ml اضافه شد. نمونه‌ها به مدت 30 دقیقه در دمای اتاق انکوبه شدند. سپس یک میلی لیتر TCA سرد 10 درصد (W/V) به نمونه‌ها اضافه گردید و به مدت 10 دقیقه با دور 3000 g سانتریفیوژ شدند. رسوب پروتئینی به دست آمده سه بار با 2 میلی لیتر محلول اتانول / اتیل استات (۱:۱V/V) شسته شد و در پایان در یک میلی لیتر گوایندین هیدروکلراید 6 مولار با $2/3$ pH حل شد. جذب نمونه‌ها در طول موج 370 نانومتر اندازه گیری شد. محتوای کربونیل براساس ضریب خاموشی مولی $(DNPH) cm^{-1} M^{-1} = 2/2 \times 4/1$ میلی گرم پروتئین بیان شد.

اندازه گیری گروه تیول: نشانگر دیگر آسیب اکسیداتیو در پروتئینها از دست رفتن گروههای تیول است. اندازه گیری گروههای تیول طبیعی و تغییر یافته در آلبومین سرم گاوی موجود در نمونه‌ها مطابق با روش المن با استفاده از $5/5$ دی‌تیو بیس نیتروبنزوئیک اسید (DTNB) یا معرف المن انجام شد (۹). به طور خلاصه، نمونه‌های BSA با غلظت $3/5\text{ mg/ml}$ (100 میکرولیتر) با بافرفسفات سالین $0/05$ مولار با $pH 7/6$ (150 میکرولیتر) مخلوط شدند و

جدول ۱- میزان ترکیبات فنولی و فلاونوئیدی در عصاره هیدروالکلی گیاه کنگر

نمونه	محتوای ترکیبات فنول ^a	محتوای ترکیبات فلاونوئید ^b
عصاره تام	107.2 ± 1.33	21.8 ± 1.06

^a مقدار کل ترکیبات فنولی بر اساس میلی گرم گالیک اسید معادل گرم وزن خشک گیاه بیان شد.

^b مقدار کل ترکیبات فلاونوئیدها بر اساس میلی گرم کاتچین معادل گرم وزن خشک گیاه بیان شد.

نتایج میانگین سه آزمایش مستقل $\pm SD$ می‌باشد.

عصاره هیدروالکلی دریک رفتار وابسته به غلظت دارای فعالیت جمع آوری کنندگی رادیکال آزاد هستند مقدار IC₅₀ برای عصاره و ویتامین ث برابر با ۱۸۳ با ۳/۵ میکروگرم بر میلی لیتر به دست آمد.

عصاره هیدروالکلی باعث جمع آوری رادیکالهای DPPH می‌شود: در جدول ۲ فعالیت آنتی اکسیدانی غلظتها مختلف عصاره اتانولی گیاه کنگر (25-400 µg/ml) در جمع آوری رادیکالهای DPPH و IC₅₀ مربوط به آن نشان داده شده است. همان طور که مشاهده می‌شود

جدول ۲- فعالیت آنتی اکسیدانی غلظتها م مختلف عصاره اتانولی گیاه کنگر (25-400 µg/ml) در جمع آوری رادیکالهای DPPH

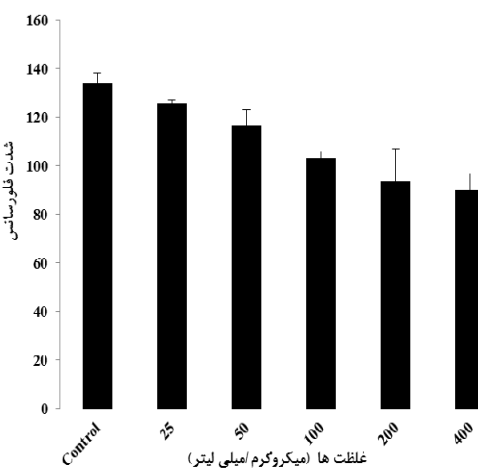
غلظت	DPPH radical Scavenging (%)			IC50 (µg/ml)
	50 µg/ml	100 µg/ml	200 µg/ml	
عصاره تام	۱۰,۹۴ ± ۲,۰	۲۸,۸۳ ± ۱,۲	۵۸,۰۵ ± ۳,۱	۱۸۳,۰ ± ۲,۱
ویتامین ث	-	-	-	۳,۵ ± ۰,۱۸

نتایج میانگین سه آزمایش مستقل ± SD می‌باشد.

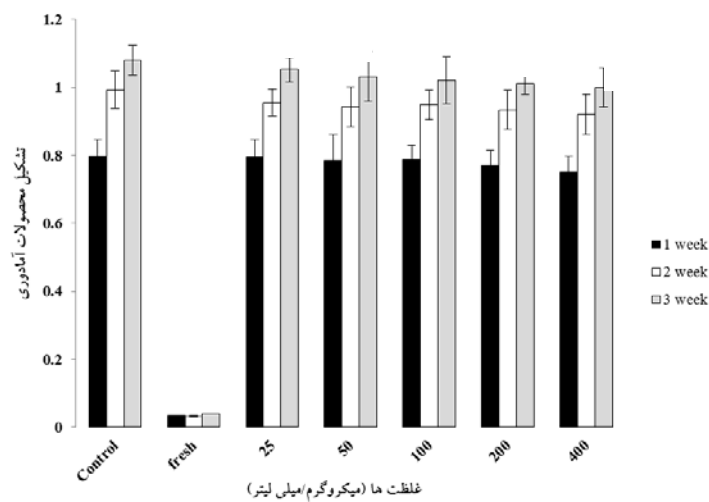
عصاره هیدروالکلی گیاه کنگر تأثیری بر روند تولید محصولات آمادوری ندارد. تشکیل محصولات آمادوری توسط سنجش فروکتوزآمین بررسی شد. آزمایش فروکتوز آمین روش رنگ سنجی برای تعیین میزان گلیکوزیله شدن پروتئین براساس توانایی محصولات آمادوری برای احیای نیتروبلوترازولیوم است. هنگامی که BSA با گلوکز انکوبه شد با گذشت زمان افزایش مقدار محصولات آمادوری مشاهده شد (شکل ۲). در حالی که، در حضور غلظتها مختلف عصاره هیدروالکل گیاه کنگر نیز تأثیر قابل توجهی بر تشکیل محصولات آمادوری صورت نگرفت.

تأثیر مهاری عصاره هیدروالکلی در روندی وابسته به غلظت در مهار تشکیل ترکیبات AGE: بررسی تشکیل ترکیبات کلی AGE (Total AGE) با سنجش فلورسانس این ترکیبات (Ex 370, Em 440) صورت گرفت. شدت فلورسانس این ترکیبات در طول مدت انکوباسیون در حضور گلوکز افزایش یافت. همان طور که در شکل ۳ مشاهده می‌شود عصاره هیدروالکلی در روندی وابسته به غلظت باعث کاهش شدت قلورسانس ترکیبات AGE گردیده است.

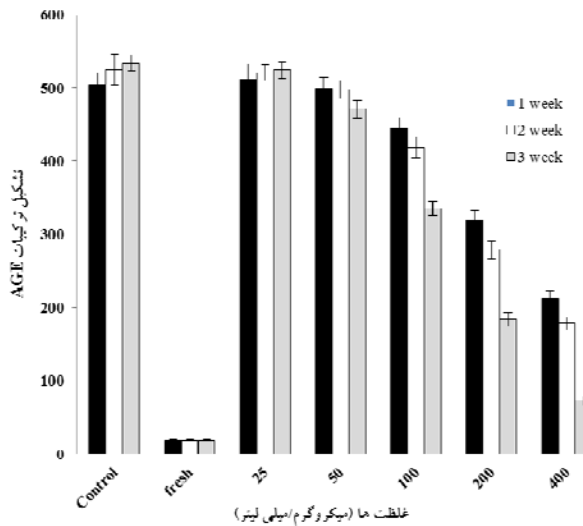
مهار هیدروکسیلاسیون بنزووات توسط عصاره هیدروالکلی: همان طور که در شکل ۱ مشاهده می‌شود، انکوباسیون همزمان گلوکز با BSA باعث افزایش قابل ملاحظه ای در مقدار هیدروکسیلاسیون بنزووات می‌شود. در حالی که، عصاره هیدروالکلی در روندی وابسته به غلظت موجب مهار هیدروکسیلاسیون بنزووات در حضور گلوکز و یونهای فلزی می‌گردد.



شکل ۱- تأثیر مهاری عصاره هیدروالکلی بر هیدروکسیلاسیون بنزووات. عصاره هیدروالکلی در روندی وابسته به غلظت باعث مهار هیدروکسیلاسیون بنزووات می‌شود. *نتایج میانگین سه آزمایش مستقل (p<0.01) SD ± می‌باشد.



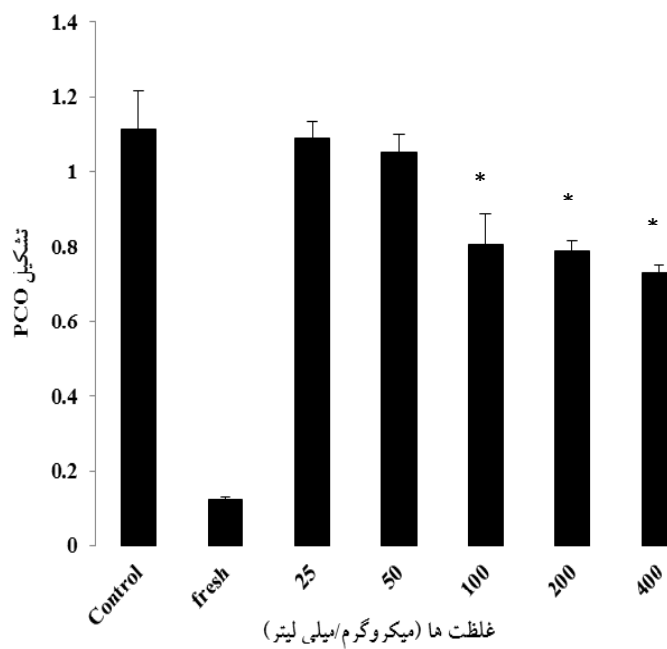
شکل ۲- تأثیر غلظت‌های مختلف عصاره هیدروالکلی بر روند تشکیل محصولات آمادوری. نتایج میانگین سه آزمایش مستقل \pm SD ($p>0.05$)



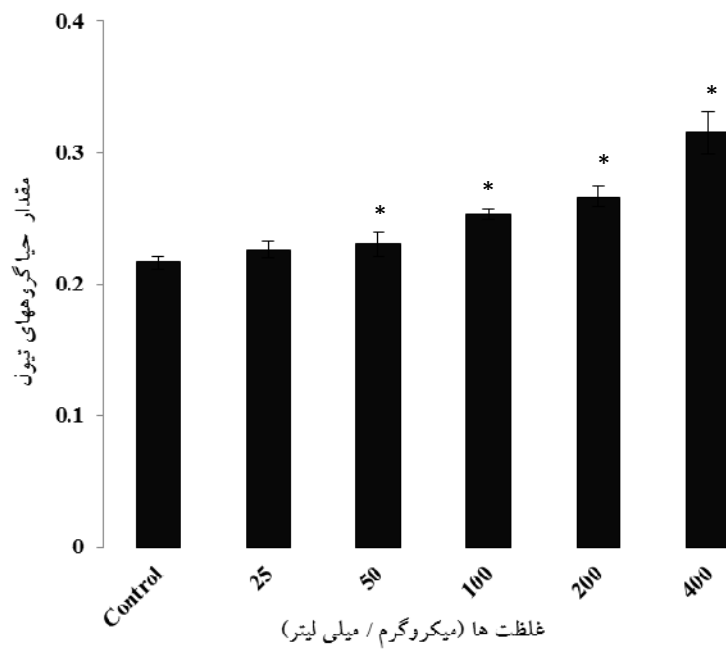
شکل ۳- تأثیر مهاری عصاره هیدروالکلی گیاه کنگر بر تشکیل ترکیبات AGE در حضور گلوکز. *نتایج میانگین سه آزمایش مستقل \pm SD ($p<0.01$)

هیدروالکلی گیاه کنگر موجب مهار تولید PCO در روندی وابسته به غلظت شد (شکل ۴). علاوه بر این، انکوباسیون پروتئین با گلوکز موجب کاهش گروههای تیول شده بود که نشان از اکسیداسیون گروههای تیول طی پدیده تشکیل AGE دارد. اما اضافه کردن عصاره هیدروالکلی به طور قابل توجهی باعث مهار اکسیداسیون گروههای تیول و افزایش احیاء گروههای تیول شد (شکل ۵).

تأثیر مهاری عصاره هیدروالکلی گیاه کنگر در اکسیداسیون پروتئینها: بیشترین تغییرات مولکولی پروتئینها که منجر به تغییرات ساختاری آنها می‌گردد تشکیل PCO و اکسیداسیون گروههای تیول است که نشانگر تخریب اکسیداتیو پروتئینها می‌باشد که این اتفاق در روند گلیکوزیلاسیون پروتئینها و تشکیل AGE نیز رخ می‌دهد. انکوباسیون BSA با گلوکز باعث افزایش تشکیل PCO می‌شود و اضافه کردن غلظت‌های مختلف عصاره



شکل ۴- تأثیر مهاری غله‌تهای مختلف عصاره هیدروالکلی گیاه کنگر بر تشکیل PCO در حضور گلوکز. * نتایج میانگین سه آزمایش مستقل \pm SD ($p<0.05$)



شکل ۵- تأثیر غله‌تهای متفاوت عصاره هیدروالکلی گیاه کنگر بر احیای گروههای تیول در حضور گلوکز. * نتایج میانگین سه آزمایش مستقل \pm SD ($p<0.05$)

بحث

است. با توجه به توانایی ترکیبات فنولی در انتقال هیدروژن منطقی است که این عصاره توانایی خوبی در جمع آوری این رادیکالهای آزاد داشته باشد.

یکی از اثرات مخرب هیپرگلیسمیا تشکیل ترکیبات AGE است. مطالعات گسترده و زیادی نشان دهنده تأثیر این ترکیبات بر عوارض سوء و بلند مدت دیابت است (۲۳، ۲۴). در حقیقت این نکته که واکنشهای گلایکه شدن توأم با واکنشهای اکسیداسیون باعث تخریب کارکرد صحیح پروتئینها می‌شوند، خود دلیل محکمی بر تأثیر AGE در پاتولوژی دیابت است (۶). واکنشهای گلایکه شدن به عنوان منبع اصلی ROS و ترکیبات فعال کربونیلی تلقی می‌شوند. مطالعات سالهای اخیر دخالت رادیکالهای آزاد از جمله H_2O_2 , سوپراکسید و رادیکال هیدروکسیل را در واکنشهای تشکیل AGE نشان می‌دهد (۸ و ۳۰). به علاوه پروسه اتواکسیداسیون خود به خودی قندهای احیاء کننده از جمله گلوکز منجر به تشکیل H_2O_2 و کتو آلدهید مربوطه می‌شود و این خود به عنوان مسیر دیگر در جهت تشکیل رادیکالهای آزاد و ترکیبات فعال کربونیلی تحت شرایط هیپرگلیسمیا تلقی می‌شود (۱۴). این نکات حداقل به لحاظ تئوریک ارزش ترکیبات آنتی اکسیدان را در جهت مهار تشکیل AGE نشان می‌دهند. به طور کلی مهار کننده‌های تشکیل AGE را می‌توان به سه دسته تقسیم بندی کرد (۱۹ و ۲۷) :

۱- مواد به دام اندازندۀ ترکیبات کربونیلی (هیدارازین‌ها) از جمله آمینو گوانیدین.

۲- مواد کلاته کننده یونهای فلزی واسطه از جمله فیتات و penicillamine

۳- آنتی اکسیدانها (سوپراکسید دیسموتاز، کاتالاز، ویتامین C و E)

آمینو گوانیدین به عنوان یک ترکیب هیدرازینی به طور گسترده‌ای به عنوان مهار کننده AGE عمل می‌کند. اگرچه مصرف آن باعث اثرات سوئی از جمله مقاومت دارویی و

مطالعات مختلف نشان داده است که استرس اکسیداتیو به شدت با دیابت و عوارض آن در ارتباط است، به طوری که هر دو نوع دیابت ۱ و ۲ حتی در غیاب عوارض دیابتی، استرس اکسیداتیو در خون افزایش یافته و درمان با آنتی اکسیدانهایی نظیر ویتامین E و ملاتونین منجر به کاهش عوارض دیابت گردیده است (۱۱). فاکتورهای زیادی تحت شرایط هیپرگلیسمیا مسئول تولید رادیکالهای آزاد هستند. از جمله این فاکتورها می‌توان به گلایکه شدن پروتئینها، اتواکسیداسیون گلوکز، مسیر Polyol و فعال شدن پروتئین کیانز C اشاره کرد. ضمن اینکه علاوه بر موارد بالا افت کارآیی سیستمهای آنتی اکسیدان در دیابت را نیز می‌توان از عوامل دیگر اصلی تولید رادیکالهای آزاد و استرس اکسیداتیو دانست. آنتی اکسیدانها به طور کلی با مکانیسمهای متفاوت و پیچیده‌ای بر پروسه‌های اکسیداتیو تأثیر می‌گذارند. این مکانیسمها معمولاً شامل مهار واکنشهای زنجیره ای اکسیداتیو، اتصال به فلزات واسطه و کلاته کردن آنها، تجزیه پراکسیدها و خاصیت جمع کنندگی رادیکالهای آزاد است (۱ و ۲).

فعالیت آنتی اکسیدانی عصاره‌های گیاهی اساساً ناشی از محتوای فنولیک یا غیر فنولیک آنهاست (۴). مطالعات گسترده و مقالات متعدد نشان داده است که بخش اعظم خاصیت آنتی اکسیدانی گیاهان به خصوص گیاهان دارویی ناشی از محتوای فنولی آنها به ویژه ترکیبات فلاونوئیدی است (۳ و ۱۳). برای بررسی توانایی آنتی اکسیدانی گیاه کنگر (*G. tournefortii*) از تست DPPH استفاده شد. در تست DPPH، توانایی آنتی اکسیدانها در جمع آوری رادیکالهای DPPH به طور مستقیم در ارتباط با قدرت هیدروژن دهنده (Hydrogen-donating ability) آنهاست. نتایج این مطالعه حاکی از پتانسیل جمع کنندگی رادیکالهای DPPH در عصاره گیاه می‌باشد. از طرفی این عصاره دارای میزان ترکیبات فنولی و فلاونوئیدی بالایی

اکسیداتیو حائز اهمیت است. لذا برای بررسی تخریب اکسیداتیو پروتئینها حین واکنشهای گلایکه شدن میزان PCO و گروههای تیول در BSA سنجیده شد. نتایج این تحقیق قویاً نشان داد که گلوکز (قد احیاء کننده استفاده شده در آزمایشات) بعد از ۱۴ روز قادر به افزایش PCO و اکسیداسیون گروههای تیول هستند. در حالی که عصاره هیدروالکلی در روندی وابسته به غلظت باعث کاهش PCO و افزایش تعداد گروههای تیول شد.

باتوجه به فرضیه Wolff که تولید رادیکالهای هیدروکسیل طی پدیده "Autoxidative Glycosylation" را مسئول تخریب اکسیداتیو پروتئینها و تولید AGE می‌داند (۲۹)، تاثیر عصاره تمام بر تولید رادیکالهای هیدروکسیل طی اتواکسیداسیون گلوکز بررسی شد. نتایج حاصل از هیدروکسیلاناسیون بنزووات نشان می‌دهد که عصاره هیدروالکلی گیاه کنگر باعث مهار تولید یا جمع آوری رادیکالهای هیدروکسیل می‌شوند. این اثر مهاری به احتمال زیاد ناشی از جمع کردن مستقیم رادیکالهای هیدروکسیل یا کلاته کردن عناصر فلزی واسطه و کاهش تولید این رادیکال است.

با توجه به خاصیت قوی آنتی اکسیدانی عصاره هیدروالکلی و همچنین توانایی آن در جمع کردن رادیکالهای آزاد، اثرات گیاه در مهار واکنشهای گلایکه شدن و تشکیل AGE را می‌توان به این ویژگی آنتی اکسیدانی گیاه که ناشی از محتوای بالای فنولی و فلاونوئیدی آن می‌باشد، ارتباط داد. یافته‌های این مطالعه نه تنها نشانگر دخالت واکنشهای اکسیداتیو در تشکیل AGE بود، بلکه نشان داد که از آنتی اکسیدانها با منشأ گیاهی می‌توان به عنوان مهار کننده‌های AGE در درمان عوارض مزمن دیابت استفاده کرد.

مشکلات کبدی شده است. لذا علی‌رغم پتانسیل بالای این ترکیبات در مهار AGE استفاده از آنها محدود شده است (۲۵). هر چند کلاته کردن عناصر فلزی واسطه نقش مهمی در کاهش رادیکالهای آزاد تولید شده و کاهش میزان AGE دارد ولی به لحاظ بیولوژیکی کلاته کردن عناصر فلزی واسطه در شرایط *In vivo* با این ترکیبات عملی نیست. در نقطه مقابل، استفاده از ترکیبات آنتی اکسیدان احتمالاً استراتژی مناسبی در جهت مهار تشکیل ترکیبات AGE است (۱۷).

به طور کلی واکنشهای گلایکه شدن به دو مرحله تقسیم می‌شود. در مرحله اول واکنشهای صورت گرفته منجر به تولید ترکیبات آمادوری می‌شود و در مرحله دوم ترکیبات آمادوری تولید شده طی واکنشهای متعدد ترکیبات AGE را تولید می‌کنند (۲۸). پیشنهاد شده است که واکنشهای اکسیداتیو و رادیکالهای آزاد نقشی در تولید ترکیبات آمادوری طی مرحله اول نداشته، در حالی که نقش مهمی در تشکیل ترکیبات AGE طی مرحله دوم دارند (۱۰ و ۲۰). در این مطالعه سنجش میزان فروکتوز آمین نشان دهنده میزان تولید ترکیبات آمادوری طی مرحله اول گلایکه شدن است. نتایج نشان داد که عصاره هیدروالکلی گیاه کنگر فارغ از غلظت آن تأثیری بر روند تشکیل ترکیبات آمادوری ندارد. در مقابل استفاده از فلورسانس اختصاصی به عنوان روشنی پذیرفته شده در جهت شناسایی ترکیبات نهایی AGE در این مطالعه مورد استفاده قرار گرفت. نتایج بیانگر تأثیر عصاره هیدروالکلی در روندی وابسته به غلظت بر مهار تشکیل ترکیبات کلی AGE بود.

با توجه به تشکیل رادیکالهای آزاد چه در مسیر گلایکه شدن پروتئینها و چه از طریق مسیر گلایکه شدن اتواکسیداتیو، بررسی پروتئین به لحاظ پارامترهای

منابع

- Ames, S.N., Shigenaga, M.K., Hagen, T.M. 1993. Oxidant, antioxidant and degenerative

disease of aging. Proc. Natl. Acad. Sci. U.S.A, 90: 7915-7922.

- 2- Ardestani, A., Yazdanparast, R. 2007. Antioxidant and free radical scavenging potential of Achillea santolina extracts. *Food. Chem.*, 104: 21-29.
- 3- Bahramikia, S., Yazdanparast, R., Ardestani, A. 2009. Protective effects of some Iranian medicinal plants against free radical-mediated protein oxidation. *Food. Chem.*, 115, 37-42.
- 4- Basta, G., Schmidt, A.M., De Caterina, R. 2004. Advanced glycation end products and vascular inflammation: implications for accelerated atherosclerosis in diabetes. *Cardiovasc. Res.*, 63: 582-592.
- 5- Blois, M.S. 1958. Antioxidant determination by the use of a stable free radical. *Nature* 181: 1199-1200.
- 6- Brownlee, M. 2001. Biochemistry and molecular cell biology of diabetic complications. *Nature* 414: 813-820.
- 7- Coruh, N., Sag hidicog lu Celep, A.G., Ozgpkce, F., Iscan, M. 2007. Antioxidant capacities of Gundelia tournefortii L. extracts and inhibition on glutathione-s-transferase activity. *Food. Chem.*, 100: 1249-1253.
- 8- Elgawish, A., Glomb, M., Friedlander, M., Monnier, V.M. 1996. Involvement of hydrogen peroxide in collagen cross-linking by high glucose in vitro and in vivo. *J. Biol. Chem.*, 271: 12964-12971.
- 9- Ellman, G.L. 1959. Tissue sulfhydryl groups. *Arch. Biochem. Biophys.*, 82: 70-77.
- 10- Fu, M.X., Wells-Knecht, K.J., Blackledge, J.A., Lyons, T.J., Thorpe, S.R., Baynes, J.W. 1994. Glycation, glycoxidation, and cross-linking of collagen by glucose. Kinetics, mechanisms, and inhibition of late stages of the Maillard reaction. *Diabetes* 43: 676-683.
- 11- Halliwell, B. 1996. Antioxidants in human health and disease. *Annu. Rev. Nutr.*, 16: 33-50.
- 12- Hamdan, II., Afifi, FU. 2004. Studies on the in vitro and in vivo hypoglycemic activities of some medicinal plants used in treatment of diabetes in Jordanian traditional medicine. *J. Ethnopharmacol.*, 93: 117-121.
- 13- Hollman, P.C.H., Katan, M.B. 1999. Dietary flavonoids: intake, health effects and bioavailability. *Food. Chem. Toxicol.*, 37: 937-942.
- 14- Hunt, J.V., Dean, R.T., Wolff , S.P. 1988. Hydroxyl radical production and autoxidative glycosylation. Glucose autoxidation as the cause of protein damage in the experimental glycation model of diabetes mellitus and ageing. *Biochem. J.*, (256): 205-212.
- 15- Jamshidzadeh, A., Fereidooni, F., Salehi., Niknahad, H. 2005. Hepatoprotective activity of Gundelia tournefortii. *J. Ethnopharmacol.*, 101: 233-237.
- 16- Johnson, R.N., Metcalf, P.A., Baker. J.R. 1983. Fructosamine: a new approach to the estimation of serum glycosylprotein. An index of diabetic control. *Clin. Chim. Acta* 127: 87-95.
- 17- Khalifah, R.G., Baynes, J.W., Hudson. B.G. 1999. Amadorins: novel post-amadori inhibitors of advanced glycation reactions. *Biochem Biophys. Res. Commun.*, 257: 251-258.
- 18- Oya, T., Osawa, T., Kawakishi. S. 1997. Spice constituents scavenging free radicals and inhibiting pentosidine formation in a model system. *Biosci. Biotechnol. Biochem.*, 61: 263-266.
- 19- Rahbar, S., Figarola, J.L. 2003. Novel inhibitors of advanced glycation endproducts. *Arch. Biochem. Biophys.*, 419: 63-79.
- 20- Sakurai, T., Tsuchiya, S. 1988. Superoxide production from nonenzymatically glycated protein. *FEBS. Lett.*, 236: 406-410.
- 21- Sarper, F., Akadin, G., Simsek, I., Yesildad, E. 2009. An ethnobotanical field survey in the haymana district of Ankara Province in Turkey. *Turk. J. Biol.*, 33: 79-88.
- 22- Sharma, S.D., Pandey, B.N., Mishra, K.P., Sivakami, S. 2002. Amadori product and age formation during nonenzymatic glycosylation of bovine serum albumin in vitro. *J. Biochem. Mol. Biol. Biophys.*, (6): 233-242.
- 23- Singh, R., Barden, A., Mori, T., Beilin, L. 2001. Advanced glycation end-products: a review. *Diabetologia* 44: 129-146.
- 24- Slinkard, J., Singleton, V.L. 1977. Total phenol analysis: automation and comparison with manual methods. *Am. J. Enol. Viticul.*, 28: 49-55.
- 25- Thornalley, P.J. 2003. Use of aminoguanidine (Pimagedine) to prevent the formation of advanced glycation endproducts. *Arch. Biochem.Biophys.*, 419: 31-40.
- 26- Thorpe, S.R., Baynes, J.W. 2003. Maillard reaction products in tissue proteins: New products and new perspectives. *Amino Acids*, 25: 257-281.
- 27- Verbeke, P., Siboska, G.E., Clark, B.F.C., Rattan, S.I.S. 2000. Kinetin inhibits protein

- oxidation and glycoxidation in vitro. Biochem. Biophys. Res. Commun, 276: 1265–1270.
- 28- Vlassara, H., Bucala, R., Striker, L. 1994. Pathogenic effects of advanced glycosylation: biochemical, biologic, and clinical implications for diabetes and aging. Lab. Invest, 70: 138-151.
- 29- Wolff, S.P., Dean, R.T. 1987. Glucose autoxidation and protein modification. The potential role of 'autoxidative glycosylation' in diabetes. Biochem. J. 245: 243-250.
- 30- Yim, H.S., Kang, S.O., Hah, Y.C., Chock, P.B., Yim, M.B. 1995. Free radicals generated during the glycation reaction of amino acids by methylglyoxal. A model study of protein-cross-linked free radicals. J. Biol. Chem, 270: 28228-28233.
- 31- Zhishen, J., Mengcheng, T., Jianming, W. 1999. The determination of flavonoid contents in mulberry and their scavenging effects on superoxide radicals. Food. Chem, 64: 555-559.

Antiglycation Effect of Hydroalcoholic Extract of Acanthus (*Gundelia tournefortii* L) in Bovine Serum Albumin (BSA): A Strategy to Reduce the Chronic Complications of Diabetes

Azizimoradi F. and Bahramikia S.

Dept. of Biology, Lorestan University, Khoramabad, I.R. of Iran.

Abstract

Non-enzymatic glycation of proteins and the formation of its advanced glycation end products (AGEs) are the important factors involved in pathogenesis of diabetes chronic complications. Since these events damage the proper function of proteins, antioxidant compounds with plant origins can be used as a therapy to prevent such chronic effects. In this research, the effect of *G. tournefortii* L. hydroalcoholic extract of Lorestan province on the inhibition of the non-enzymatic glycation process of bovine serum albumin (BSA) in diabetes models was investigated. For this purpose, at first the phenol and flavonoid contents of the plant were determined. To investigate the antioxidant activity of this plant, 2, 2-diphenyl-1-picrylhydrazyl (DPPH) radical scavenging test was used. Then, for the AGEs formation, BSA was glycated in vitro by using the glucose and the effect of different concentrations of *G. tournefortii* hydroalcoholic extract on the AGEs formation was evaluated by using various assays. The results showed that the hydroalcoholic extract in a dose-dependent (25- 400 µg/ml) manner has DPPH radical scavenging ability as well as antiglycation activity. In addition, the hydroalcoholic extract inhibited benzoate hydroxylation during glucose autoxidation. Concerning the involvement of oxidative reactions in AGEs formation under hyperglycemia condition and also regarding the high phenolic and flavonoid contents (antioxidant compounds) of the plant, it can be concluded that the *G. tournefortii* hydroalcoholic extract probably through its potent antioxidant activity inhibits the protein glycation process.

Key words: Non-enzymatic glycation, advanced glycation end products (AGEs), Acanthus (*Gundelia tournefortii* L), Diabetes